

МИНИСТЕРСТВО ОБРАЗОВАНИЯ РЕСПУБЛИКИ БЕЛАРУСЬ
УЧРЕЖДЕНИЕ ОБРАЗОВАНИЯ
«Гомельский государственный технический университет имени П.О.
Сухого»

КАФЕДРА «ИНФОРМАЦИОННЫЕ ТЕХНОЛОГИИ»

РЕФЕРАТ

на тему

**ПРОГРАММНЫЙ КОМПЛЕКС ДЛЯ ИМИТАЦИОННОГО
МОДЕЛИРОВАНИЯ РОЖДЕНИЯ Z' - БОЗОНОВ В
ПРОТОН-ПРОТОННЫХ СТОЛКНОВЕНИЯХ С УЧЕТОМ
ЭФФЕКТОВ $Z - Z'$ СМЕШИВАНИЯ**

подготовленный для прохождения итоговой аттестации по
общеобразовательной дисциплине «Основы информационных технологи»

Выполнил:

магистрант гр. МАГ 40-22 специальности 1–40 80 04 «Математическое
моделирование, численные методы и комплексы программ»

Бурим Илья Павлович

Проверил:

доцент кафедры «Информационные технологии»

Цитринов А.В.

Гомель 2017

СОДЕРЖАНИЕ

| | |
|--|----|
| Перечень условных обозначений и сокращений | 3 |
| ВВЕДЕНИЕ | 4 |
| ОБЩАЯ ХАРАКТЕРИСТИКА РАБОТЫ | 5 |
| 1 Анализ программ моделирования процессов столкновения элементарных частиц при высоких энергиях 9-19 | 6 |
| 2 РАЗРАБОТКА АЛГОРИТМОВ И ТЕХНОЛОГИЙ РЕШЕНИЯ ПОСТАВЛЕННОЙ ЗАДАЧИ 19-30 | 7 |
| 2.1 Процесс $p + p \rightarrow Z'$ | 7 |
| 2.2 Используемые средства разработки программного обеспечения | 7 |
| 3 РАЗРАБОТКА ПРИЛОЖЕНИЯ ВИРТУАЛЬНОЙ РЕАЛЬНОСТИ 30-42 | 8 |
| 4 ТЕСТИРОВАНИЕ И ВЕРИФИКАЦИЯ РАЗРАБОТАННОГО ПРИЛОЖЕНИЯ 42-50 | 9 |
| 4.1 Верификация работы программы | 9 |
| 4.2 Анализ результатов верификации | 9 |
| 5 Рождения Z' - бозонов в протон-протонных столкновениях с учетом эффектов $Z - Z'$ смешивания | 10 |
| 5.1 Новая физика | 10 |
| 5.2 Инструменты имитационного моделирования | 15 |
| 5.3 Распады промежуточных бозонов. Определение массы Z' -бозона | 17 |
| ЗАКЛЮЧЕНИЕ | 22 |
| БИБЛИОГРАФИЧЕСКИЙ СПИСОК | 23 |
| ПРИЛОЖЕНИЕ А | 25 |

Перечень условных обозначений и сокращений

ыфвыфыфвыв

ВВЕДЕНИЕ

ЫЫЫЫ

ОБЩАЯ ХАРАКТЕРИСТИКА РАБОТЫ

ЫЫЫЫЫЫЫЫЫЫ

ГЛАВА 1

Анализ программ моделирования процессов столкновения элементарных частиц при высоких энергиях 9-19

ГЛАВА 2

РАЗРАБОТКА АЛГОРИТМОВ И ТЕХНОЛОГИЙ РЕШЕНИЯ ПОСТАВЛЕННОЙ ЗАДАЧИ 19-30

2.1 Процесс $p + p \rightarrow Z'$

2.2 Используемые средства разработки программного обеспечения

ГЛАВА 3

РАЗРАБОТКА ПРИЛОЖЕНИЯ ВИРТУАЛЬНОЙ РЕАЛЬНОСТИ 30-42

ГЛАВА 4

ТЕСТИРОВАНИЕ И ВЕРИФИКАЦИЯ РАЗРАБОТАННОГО ПРИЛОЖЕНИЯ 42-50

4.1 Верификация работы программы

4.2 Анализ результатов верификации

ГЛАВА 5

Рождения Z' - бозонов в протон-протонных столкновениях с учетом эффектов Z - Z' смешивания

5.1 Новая физика

Несмотря на впечатляющий успех в описании экспериментов, Стандартная модель не может считаться окончательной теорией элементарных частиц. У нее есть свои трудности. Физики уверены, что она должна быть частью некоторой более глубокой теории строения микромира, той частью, которая видна в экспериментах на коллайдерах при энергиях ниже примерно 1 ТэВ. Главная задача Большого адронного коллайдера — получить хотя бы первые намеки на то, что это за более глубокая теория.

Теоретики разработали большое число кандидатов на такую теорию. Все они, естественно, включают какие-то элементы, которые отсутствуют в Стандартной модели. Часто такие теории коллективно называют «Новая физика» или «За пределами Стандартной модели». На этой странице перечислены некоторые из активно изучаемых вариантов Новой физики [5].

Суперсимметрия — это гипотетическая симметрия между фермионами и бозонами. Теории, использующие эту идею, оказываются удивительно мощными, и потому именно с суперсимметрией многие связывают надежды на открытие физики за пределами Стандартной модели. Однако до сих пор не было получено ни одного убедительного доказательства в пользу того, что суперсимметрия реализуется в нашем мире. Ее поиск является одной из главных задач Большого адронного коллайдера. Константы связи трех взаимодействий частиц в микромире сходятся к одному значению, если имеющиеся сейчас данные экстраполировать в область очень высоких энергий. Это совпадение считается неслучайным и воспринимается физиками как намек на то, что все три взаимодействия при больших энергиях объединяются в одно.

В XIX веке физики обнаружили, что электричество и магнетизм — это две стороны одной медали, электромагнитного взаимодействия. Век спустя, при создании Стандартной модели, электромагнетизм и слабые ядерные силы были объединены в рамках единого электрослабого взаимодействия. (Точнее говоря, внутри электрослабого взаимодействия имеются по-прежнему две разные силы, а электромагнитное и слабое взаимодействия возникают как комбинации этих сил). Каждое такое объединение упрощало

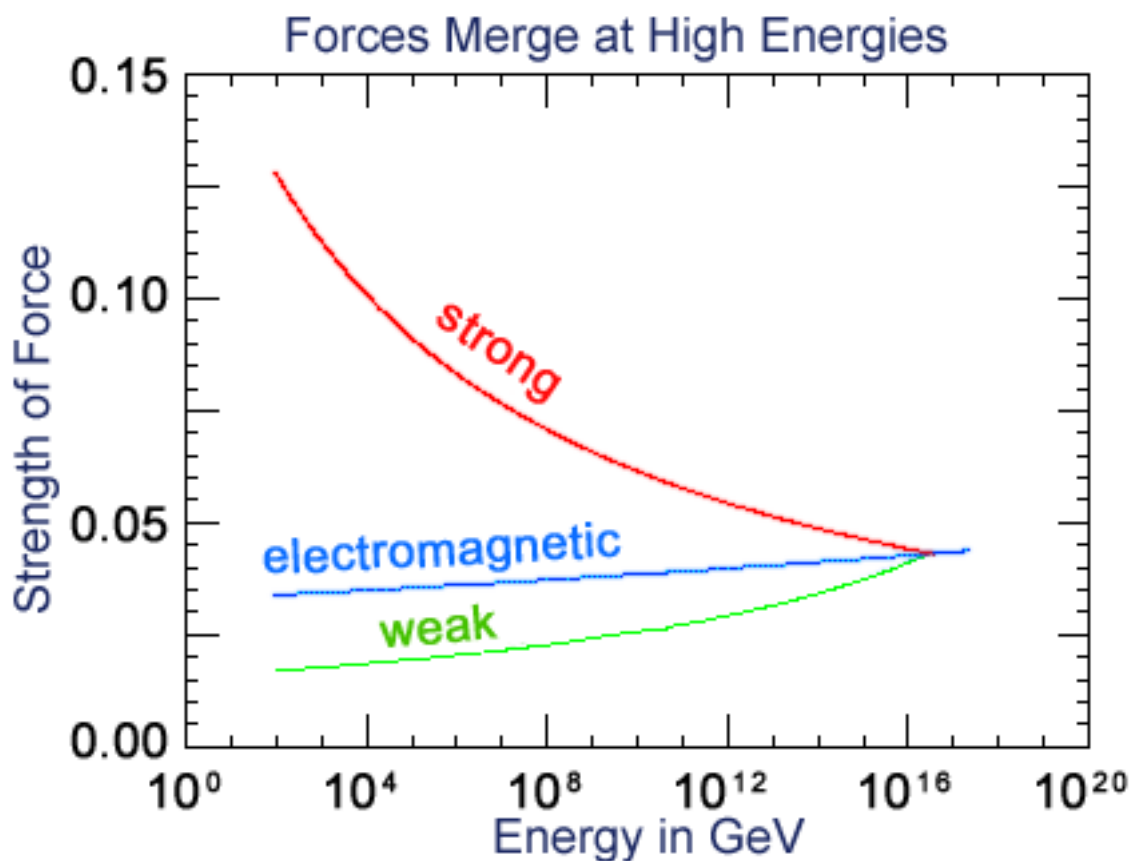


Рисунок 5.1 — Константы связи трех типов взаимодействий

теорию, уменьшало количество введенных в нее «сущностей», переводило наше понимание микромира на новый уровень.

Сейчас физики имеют сразу несколько причин подозревать, что при очень высоких энергиях происходит объединение электрослабого и сильного взаимодействий (рисунок 2.1). Модели, использующие эту идею (так называемые Теории великого объединения) разрабатываются уже давно. В идеале хотелось бы, чтобы такая теория естественным образом объясняла, почему фундаментальных взаимодействий именно столько и именно с такими свойствами, а также имела четкие предсказания, доступные проверке в современных экспериментах.

При энергиях элементарных частиц, доступных на ускорителях, гравитация по-прежнему остается исключительно слабой, так что заметить ее проявления не удастся. Однако ее сила растет с ростом энергии, и при энергиях столкновения порядка планковской она станет столь же важной, как и другие взаимодействия. В этом случае в полный рост встает исключительно сложный вопрос о том, как включить гравитацию в квантовое описание микромира. Поскольку гравитация в современной физике счи-

тается проявлением кривизны пространства-времени, успешная теория с сильной гравитацией должна описывать в рамках единого формализма не только все взаимодействия и всё вещество, но и структуру пространства-времени.

Одним из наиболее привлекательных путей решения этого вопроса является теория суперструн и ее дальнейшее развитие в виде теории бран и М-теории. В этих теориях считается, что фундаментальными объектами, существующими в многомерной вселенной, являются не точечные частицы, а протяженные объекты – струны, мембраны и еще более многомерные образования. В этой теории были получены впечатляющие успехи при высоких энергиях, однако при попытке вывести свойства нашего низкоэнергетического мира из теории суперструн возникает обескураживающая неопределенность предсказаний.

Долгое время казалось, что проверка предсказаний теории суперструн лежит далеко за пределами возможностей человечества, поскольку речь идет об энергиях, на 15 порядков превышающих энергии современных ускорителей. Однако примерно 10 лет назад возникло новое направление развития теории, в котором гравитация становится сильной на энергиях порядка 1 ТэВ. Такая возможность возникает в том случае, если наш мир более чем трехмерный и если при этом новые дополнительные пространственные размерности достаточно протяженны: либо они бесконечны, либо свернуты в многомерные петельки размером много больше ядерного масштаба.

В этом случае на *LHC* следует ожидать целый ряд совершенно замечательных эффектов, отсутствующих в Стандартной модели, например, рождение гравитонов, которые будут улетать из нашего мира в дополнительные измерения, и микроскопических черных дыр, тут же испаряющихся с испусканием множества обычных частиц. Будут также наблюдаться сильные отклонения от предсказаний Стандартной модели в столкновении обычных частиц. Стоит, впрочем, подчеркнуть, что пока нет никаких экспериментальных подтверждений того, что эта красивая гипотеза имеет отношение к нашему миру.

Все три перечисленные выше направления «Новой физики» опираются на глубокие теоретические гипотезы об устройстве нашего мира (суперсимметрия, единство сил, квантово-гравитационная вселенная). Однако кроме этих направлений теоретики также рассматривают разнообразные теории «статусом ниже». В этих теориях просто отмечается, что текущие экспериментальные данные не запрещают те или иные экзотические объекты или явления, и разрабатываются их следствия. Вот несколько примеров таких моделей разной степени экзотичности.

Неминимальные хиггсовские модели. Поскольку хиггсовские бозоны —

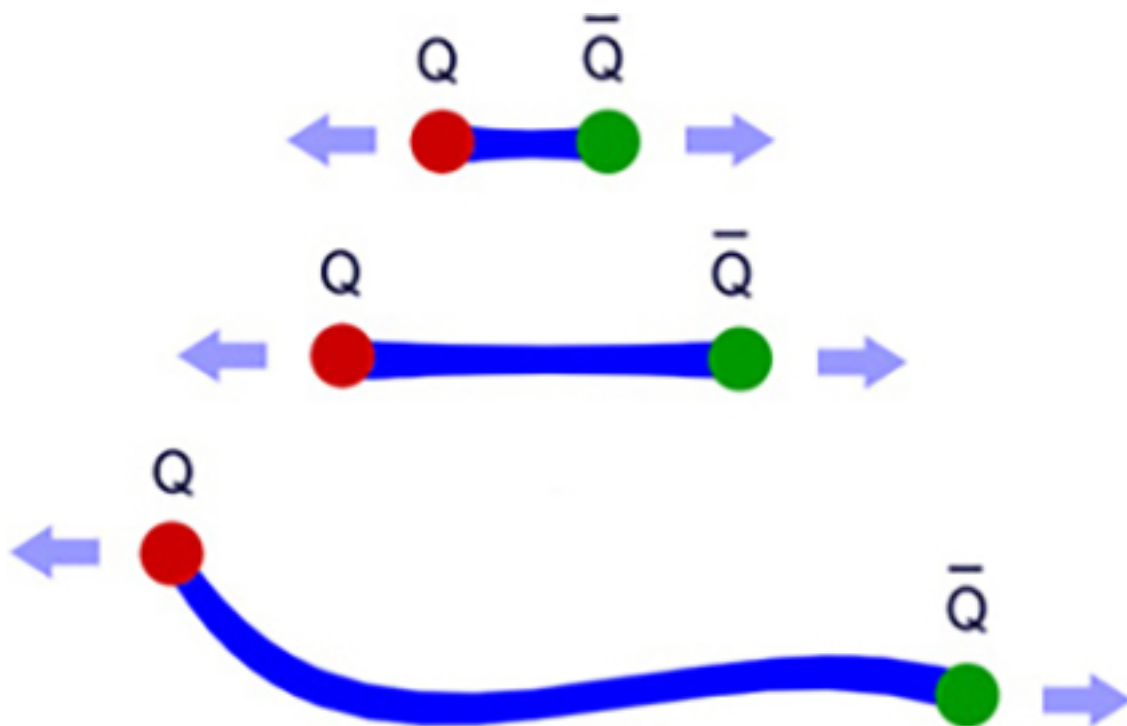


Рисунок 5.2 — Кварки

единственные частицы Стандартной модели, до сих пор не открытые экспериментально, теоретики изучают самые разные варианты устройства этого сектора теории. Новые поколения фермионов. Можно предположить, что кроме трех известных поколений кварков и лептонов существуют и другие поколения. Частицы из этих поколений должны быть очень тяжелыми, иначе бы их уже давно открыли в эксперименте.

Новые короткодействующие силы. В таких моделях предполагается, что в нашем мире есть и иные силовые взаимодействия, отличные от сильных, слабых и электромагнитных, но они настолько короткодействующие, что до сих пор никак не проявлялись в эксперименте. На Большом адронном коллайдере благодаря его рекордной энергии удастся «прощупать» взаимодействия частиц на исключительно малых расстояниях (менее 10^{-19} метра), а значит, появляется шанс эти взаимодействия обнаружить. Они могут проявляться либо как рождение и распад частицы-переносчика новых сил (такие гипотетические частицы обозначают Z'), либо как усиленное рассеяние частиц на большие углы.

Лептокварки. В Стандартной модели и в подавляющем большинстве теорий Новой физики кварки и лептоны взаимодействуют друг с другом опосредованно, путем обмена квантами силовых полей. Однако можно представить себе возможность того, что кварки и лептоны исходно явля-

лись фермионами одного типа и лишь потом расщепились на два разных сорта. В таком случае должны существовать новые тяжелые частицы — лептокварки, которые распадаются прямо на кварк и лептон. Подобные частицы встречаются в теориях Великого объединения.

Квирки. Одним из очень необычных и любопытных вариантов новых сил является гипотеза квирков (*quirks*). Эта модель построена по типу обычного сильного взаимодействия: в ней предполагается, что существует новое силовое поле с конфайнментом и новые частицы, его чувствующие. Если частицы очень тяжелые, то между ними будут натягиваться длинные, даже макроскопические силовые струны, которые не смогут порваться (рис. 2.2).

Слабое взаимодействие — короткодействующее фундаментальное взаимодействие между элементарными частицами, ответственное за бета-распад атомных ядер и медленные распады частиц. Слабое взаимодействие значительно слабее сильного и электромагнитного, но гораздо сильнее гравитационного. В слабом взаимодействии участвуют все фундаментальные фермионы (кварки и лептоны) и все адроны. Единственными частицами, которые участвуют только в слабом взаимодействии являются три типа нейтрино ν_e, ν_μ, ν_τ и их античастицы антинейтрино $\bar{\nu}_e$, антинейтрино $\bar{\nu}_\mu$, антинейтрино $\bar{\nu}_\tau$. В нем не участвуют переносчики сильного, электромагнитного и гравитационного взаимодействий — глюон, фотон и гравитон. В процессе слабого взаимодействия частицы обмениваются переносчиками слабого взаимодействия промежуточными (фундаментальными) бозонами: имеющими электрический заряд W^\pm и нейтральным Z . Эти бозоны, в отличие от переносчиков остальных фундаментальных сил безмассовых глюона, фотона и гравитона, имеют огромные массы $m_W = 80.4 \text{ ГэВ}/c^2$ и $m_Z = 91.2 \text{ ГэВ}/c^2$ (примерно как у атомов циркония или ниобия), что приводит к очень малому радиусу действия слабых сил $\approx 10^{-18}$ см (что на три порядка меньше радиуса сильного взаимодействия) и очень низкой по сравнению с сильными и электромагнитными процессами вероятности (скорости) слабых процессов.

Несмотря на малую величину и короткодействие слабые силы играют очень важную роль в природе. Так без них погасло бы Солнце, так как внутри него остановился бы процесс превращения 4 протонов в ядро гелия-4, являющийся основным источником энергии Солнца.

Слабое взаимодействие выделяется тем, что в нём не соблюдается ряд запретов, присущих сильному и электромагнитному взаимодействиям. Так в слабых процессах кварки одного типа (аромата) превращаются в кварки других ароматов [9].

Особенности слабого взаимодействия

- Их слабость (медленность), выражающаяся в том, что вероятность этих процессов на много порядков меньше вероятностей сильных и электромагнитных процессов.
- Малый радиус взаимодействия — как минимум на два порядка меньший, чем радиус сильного взаимодействия. Ни в одном из слабых процессов не удалось до 1982 г. обнаружить каких-либо отклонений от точечного четырех- фермионного взаимодействия.
- Сильное, максимально возможное несохранение пространственной и зарядовой четностей. Так, в заряженные токи входят только левые компоненты спиноров, описывающих частицы, и только правые компоненты спиноров, описывающих античастицы.
- Несохранение CP -четности.
- Несохранение ароматов (странности, чарма и т. д.).
- То обстоятельство, что только в слабых взаимодействиях принимают участие нейтрино.

Тем поразительней, что, несмотря на столь резкие отличия, слабые и электромагнитные взаимодействия представляют собой, по-видимому, проявление одного и того же взаимодействия, которое в последние годы получило название электрослабого.

Согласно электрослабой теории слабые взаимодействия заряженных токов обусловлены обменами W -бозонами, а нейтральных — Z -бозонами, подобно тому как взаимодействие электромагнитных токов обусловлено обменом фотонами. При этом слабость и малый радиус слабого взаимодействия объясняются тем, что, в отличие от фотонов, W и Z -бозоны — очень тяжелые частицы. Остальные особенности слабого взаимодействия прямо заложены в предположении о форме исходных фермионных токов теории. Так что в электрослабой теории удивляться надо не тому, что слабое взаимодействие зеркально-асимметрично, а тому, что электромагнитное — зеркально-симметричное.

Слабое взаимодействие переносится массивными W^\pm - и Z -бозонами. Обмен заряженными W^+ и W^- -бозонами приводит к изменению электрического заряда взаимодействующих фермионов. Эти процессы происходят за счет заряженных токов.

5.2 Инструменты имитационного моделирования

Для исследования отклика детектора на различные физические процессы, созданы программы, позволяющие перевести моделированное на

уровне частиц событие взаимодействия протонов при соударении в формат представления данных детекторов установки *ATLAS*. Алгоритмы моделирования интегрированы в программную оболочку эксперимента *ATLAS*, именуемую *Athena*, использующую программный пакет *GEANT4*.

Генератор события создает набор частиц, который направляется в программу быстрого или полного моделирования детектора. Генераторы событий встроены в *Athena*. Используется большое число других, поддерживаемых авторами, генераторов, которые имеют блоки связи для использования в *Athena*. Основной массив модельных событий создан с помощью генераторов *PYTHIA* [7], включая его версию *PYTHIAB*, предназначенную в *ATLAS* для моделирования событий с рождением *B*-адронов.

PYTHIA - это программного пакета для визуализации результатов моделирования процессов столкновения частиц при высоких энергиях осуществляющего генерацию методом Монте-Карло физических событий.

Программы *PYTHIA* интенсивно используются для генерации событий в физике высоких энергий при описании процессов множественного рождения в столкновениях элементарных частиц. В частности задачи, что включает решаемые жесткие с взаимодействия помощью данного в столкновениях e^+e^- , pp и ep , а также некоторые другие случаи. Программа предназначена для генерации генератора полных событий, т.е. дают более детальную картину, чем мы наблюдаем в эксперименте, в рамках нашего понимания фундаментальной физики процессов. Обсуждаемые здесь программы Монте-Карло построены как ведомые системы, т.е. пользователь должен написать основную программу. Из нее различные программы вызываются для выполнения частных задач, после чего управление снова передается основной программе. Некоторые из этих задач могут быть весьма тривиальными, и достаточно высокоуровневые программы могут производить большое число вызовов подпрограмм.

Генераторы общего назначения создают событие как целое. Они используют много параметров, часть из которых относится к фундаментальным параметрам, такие как константы связи квантовой хромодинамики (КХД) и электрослабой теории, часть относится к моделям, описывающим взаимодействия на больших расстояниях, с малыми передачами импульса, т.н. «мягкой» КХД, и к электрослабым процессам.

Для корректного моделирования процессов рождения и распада частиц необходимо учитывать условия проведения эксперимента. Это условия рождения изучаемых частиц на ускорителе при соответствующих энергиях сталкивающихся пучков, полные цепочки распадов частиц до уровня «стабильных частиц», регистрируемых детектором. Для решения этих задач применяются генераторы событий, использующие метод Монте-Карло.

Генератор *PYTHIA* является широко используемой в физике высоких энергий программой моделирования столкновений различных частиц в широком диапазоне энергий. Этот генератор учитывает процессы фрагментации кварков в адроны и разыгрывает сложные цепочки адронных распадов. Стартуя с заданного пользователем процесса, (столкновение двух протонов с рождением Z -бозона и т.п.) программа случайным образом (с учетом законов сохранения и, по возможности, теоретически известной структуры взаимодействия) разыгрывает конфигурацию конечных партонов, а затем моделирует т.н. процесс адронизации - процесс превращения ненаблюдаемых кварков и глюонов в реальные стабильные и нестабильные частицы с последующим распадом нестабильных частиц. На выходе программа выдает список всех частиц, родившихся в результате столкновения заданных первичных частиц, значения их компонент импульса и энергии. Кроме того, имеется возможность проследить последовательность рождений и распадов от первичного взаимодействия до рождения данной частицы. В качестве входных параметров программы используются описания сталкивающихся частиц, их энергий и тип моделируемого процесса (например, рождение Z -бозона). Существующие версии пакета *PYTHIA* написаны на языке программирования *FORTRAN*. Результаты генерации – характеристики вторичных частиц – записываются в файл, что позволяет в дальнейшем проводить статистическую обработку событий.

5.3 Распады промежуточных бозонов. Определение массы Z' -бозона

В физических программах экспериментов на современных дронных (*LHC*) и планируемых на электрон-позитронных (*ILC*, *CLIC*) коллайдерах вопросу поиска «новой» физики, выходящей за рамки Стандартной модели (СМ), традиционно уделяется большое внимание. К числу подобных теоретических построений, являющихся обобщением СМ, относятся модели с расширенным к либровочным сектором, такие как лево-правосимметричные модели (*LR*), альтернативные лево-правосимметричные модели (*ALR*), E_6 -модели и др. [8]. Их исследование (теоретическое и экспериментальное) представляет значительный интерес. Эти модели являются одними из простейших расширений СМ, характеризующихся элементарной структурой хиггсовского сектора. Общим для данных моделей является то, что они предсказывают новые физические объекты и явления на масштабе энергий $O(1 \text{ ТэВ})$, связанные, например, с наличием тяжелых нейтральных (Z') калибровочных бозонов, обусловленных дополнительными

калибровочными симметриями $U(1)'$.

Достижение порога рождения Z' -бозона явилось бы прямым доказательством проявления «новой» физики. Однако в данном случае интервал поиска масс Z' ограничен максимальной энергией коллайдера, на котором проводятся эксперименты. Значительно более широкий интервал масс можно исследовать с помощью пропагаторных эффектов. В этом случае ведется поиск отклонений различных наблюдаемых от соответствующих предсказаний СМ. Если экспериментальные данные при достигнутом уровне точности согласуются с СМ, т. е. отклонений от предсказаний СМ нет, то эту экспериментальную информацию можно использовать для получения ограничений на динамические параметры и массы Z' -бозонов.

Потенциальные возможности e^+e^- -коллайдеров для прямого рождения новых калибровочных бозонов гораздо скромнее по сравнению с адронными машинами из-за более низких энергий пучков. Кроме того, современные ограничения на массы Z' -бозонов для большинства моделей превосходят планируемую энергию электрон-позитронного коллайдера ILC , $\sqrt{s} \ll M_{Z'}$. Тем не менее основным достоинством этих машин является возможность проведения экспериментов по измерению наблюдаемых величин с высокой степенью точности и получения однозначной информации о косвенных (виртуальных) эффектах новых Z' -бозонов, а также эффектах бозонного Z - Z' -смешивания. Последние, в моделях с расширенным калибровочным сектором, зависят от структуры хиггсовского сектора модели. Тем самым экспериментальное исследование процессов рождения пар W^\pm -бозонов может не только пролить свет на возможное существование «новой» физики, но и дать косвенные указания на хиггсовскую природу, а также установить структуру модели.

На основе данных, полученных из низкоэнергетических экспериментов по нейтральным токам, результатов на e^+e^- -коллайдерах LEP и SLC [8], а также недавно выполненных экспериментов по поиску прямого адронного рождения Z' -бозонов в процессе Дрелла-Яна.

$$pp \rightarrow Z' \rightarrow l^+l^- + X$$

($l = e, \mu$) на коллайдере LHC при энергии $\sqrt{s} = 7$ и 8 ТэВ с интегральной светимостью соответственно $L_{int} = 5$ и 20 fb^{-1} [8] можно заключить, что для большинства расширенных калибровочных моделей граничные значения для масс дополнительных Z' -бозонов находятся в интервале $\sim 2,5\text{--}3,0$ ТэВ (в зависимости от модели), а современный масштаб ограничений на угол смешивания составляет $\mathcal{O}(\varphi) \sim 10^{-2}\text{--}10^{-3}$ рад. При этом наиболее точная информация об угле смешивания была получена преимущественно из экспериментов на электрон-позитронных коллайдерах $LEP1$ [12] и SLC

по измерению резонансных наблюдаемых физических величин при энергии начальных состояний, равной массе стандартного Z -бозона, $\sqrt{s} = M_Z$, в процессах

$$e^+e^- \rightarrow f\bar{f}$$

где конечными фермионными состояниями f были заряженные лептоны и кварки [11]. Высокая точность, достигнутая в экспериментах на коллайдерах $LEP1$ и SLC , объясняется прежде всего возможностью набора большого объема данных в резонансной области энергии.

Кроме того, эта информация дополнялась данными, полученными на коллайдере тэватрон, по точному измерению массы M_W , на основе которых определялся параметр бозонного $Z-Z'$ -смешивания с использованием соотношения между массами нейтральных и заряженных калибровочных бозонов, $M_Z = M_W/(\sqrt{p_0} \cos \theta_W)$, имеющего место в расширенных моделях. Очевидно также, что эти данные будут дополнены новой информацией, которая в ближайшем будущем будет получена в экспериментах на коллайдере LHC при энергии 13 и 14 ТэВ. Вместе с тем из этих данных нельзя сделать однозначный вывод о природе «новой» физики, который мог бы вызвать отклонение наблюдаемых величин от их поведения, предсказываемого СМ. Дело в том, что параметр p , который содержится в выражениях для векторных и аксиально-векторных констант связи фермионов с учетом петлевых поправок, зависит, в частности, от структуры хиггсовского сектора модели, которая изначально неизвестна. Кроме того, новые тяжелые фермионы и скалярные частицы, предсказываемые моделями с расширенным калибровочным сектором, могут давать вклад в параметр p на петлевом уровне. Все эти неопределенности приводят к появлению систематических (теоретических) погрешностей, которые могут быть весьма существенными при измерении параметра p и, в конечном счете, могут повлиять на точность определения параметра $Z-Z'$ -смешивания.

Процессы парного рождения заряженных W^\pm -бозонов в адронных столкновениях на LHC

$$pp \rightarrow W^+W^- + X$$

электрон-позитронной аннигиляции на $LEP2$ и в большей степени на ILC

$$e^+e^- \rightarrow W^+W^-$$

Являются весьма эффективным инструментом поиска эффектов $Z-Z'$ -смешивания при высоких энергиях и, таким образом, играют роль основного поставщика информации об угле $Z-Z'$ -смешивания [8]. С теоретической точки зрения процессы парного рождения заряженных калибровочных бозонов в адронных и электронпозитронных столкновениях интересны тем,

что их сечения пропорциональны углу $Z-Z'$ -смешивания, который, как отмечалось выше, в расширенных калибровочных моделях зависит от структуры хиггсовского сектора [13].

Прямой поиск тяжелых резонансов в процессе $p\bar{p} \rightarrow W^+W^- + X$ осуществлялся экспериментальными группами CDF и $D0$ на коллайдере тэватрон. Коллаборация $D0$ исследовала возможность рождения резонанса в канале его дибозонного распада, используя чисто лептонные $lv'l'v'$ и полулептонные vjj моды. Здесь $l = e, \mu$; jj — две адронные струи. Коллаборация CDF также осуществляла поиск тяжелых резонансов в канале их распада в пару заряженных калибровочных бозонов W^+W^- с последующим распадом в полулептонные $evjj$ конечные состояния. Обе коллаборации установили ограничения на массы тяжелых резонансов, таких как новые нейтральные Z' - и заряженные калибровочные W^\pm -бозоны, гравитоны Рэндалл-Сандрума. Кроме того, в настоящее время поиск тяжелых резонансов на LHC в WW -канале интенсивно ведется коллаборациями $ATLAS$ и CMS . В частности, уже получена экспериментальная информация о процессе в лептонном канале $lv'l'v'$ при энергии коллайдера 7 ТэВ и интегральной светимости $4,7 \text{ фб}^{-1}$ [10].

Из анализа экспериментальных данных по измерению процесса электрон-позитронной аннигиляции на коллайдере $LEP2$ были впервые получены прямые ограничения на угол $Z-Z'$ -смешивания. Точность измерения угла смешивания оказалась не очень высокой, $|\phi|$ 5–10 %, так как сам коллайдер работал в интервале энергий, незначительно превышающем порог реакции, $\sqrt{s} \gg 2M_W$. Как было установлено ранее, чувствительность процесса электрон-позитронной аннигиляции к эффектам «новой» физики значительно усиливается при высоких энергиях, $\sqrt{s} \gg 2M_W$, где важную роль играет механизм калибровочного сокращения. Дело в том, что вклад Z' -бозона в сечение процесса нарушает механизм калибровочного сокращения, играющий важную роль в СМ. Действие механизма калибровочного сокращения состоит в том, что он обеспечивает «правильное» поведение сечения процесса электрон-позитронной аннигиляции с ростом энергии, которое не нарушает унитарный предел, несмотря на быстро растущие с энергией отдельные вклады в сечение. Вместе с тем эффекты, индуцированные появлением дополнительного калибровочного бозона, нарушают механизм калибровочного сокращения в энергетическом интервале $2M_W \ll \sqrt{s} \ll M_{Z'}$, что проявляется в виде «разбалансировки» отдельных вкладов в сечение и, как следствие, в возникновении существенно иной по сравнению со СМ энергетической зависимости сечений. Этим обусловлено действие так называемого механизма усиления эффектов «новой» физики в процессе электрон-позитронной аннигиляции.

Именно в силу этого обстоятельства линейный коллайдер ILC является одним из основных инструментариев для поиска эффектов «новой» физики при исследовании процесса электрон-позитронной аннигиляции.

Следует отметить также, что коллаборация CDF на коллайдере тэватрон одной из первых получила прямые ограничения на угол $Z-Z'$ -смешивания из обработки данных по измерению процесса адронного рождения W^+W^- -бозонов. И вновь относительно небольшая энергия установки и низкая светимость не позволили улучшить ограничения, полученные на коллайдере $LEP2$, а лишь повторить их [14].

Возможности коллайдера LHC по обнаружению эффектов $Z-Z'$ -смешивания в процессе рождения пар заряженных калибровочных W^\pm -бозонов с их последующим распадом по чисто лептонному каналу $lv'l'v'$. Несмотря на очевидное достоинство данного канала, связанное с подавленностью фона, особенно при больших инвариантных массах W^\pm -бозонов, у него имеется заметный недостаток, связанный с присутствием в конечных фермионных состояниях двух нейтрино, что не позволяет восстановить распределение по инвариантной массе бозонных пар из экспериментальных данных. В то же время распад пары W^\pm -бозонов по полулептонному каналу $lvjj$ свободен от указанного недостатка. В процессе $pp \rightarrow Z' \rightarrow WW + X \rightarrow lvjj + X$ существует возможность реконструировать распределение по инвариантной массе W^+W^- -пары и тем самым исследовать резонансную структуру Z' -бозона. Еще одним достоинством настоящего полулептонного процесса является то, что он имеет сечение, существенно превосходящее сечение чисто лептонного канала. Вместе с тем полулептонный канал, в отличие от лептонного канала $lv'l'v'$, имеет большой КХД-фон, вызванный рождением W_{jj} -, а также Z_{jj} -состояний [15]. В последнем случае предполагается, что Z -бозон распадается по лептонному каналу, а в процессе детектирования лептонов один из них теряется. Кроме перечисленных выше КХД фоновых процессов имеется еще один, который играет важную роль в оценке всей фоновой составляющей. Это процесс рождения пар $t\bar{t}$ -кварков. Однако большой КХД-фон может быть редуцирован путем наложения кинематических ограничений на поперечные импульсы заряженных лептонов и адронных струй в резонансном сигнале рождения Z' -бозонов [8].

ЗАКЛЮЧЕНИЕ

Целью реферата было исследование преимуществ и недостатков ОС *Linux*. Был поставлен ряд задач, которые необходимо было выполнить, для достижения намеченной цели. Если рассмотреть последовательно каждый пункт, то можно сделать вывод, что цель реферата достигнута: дан развернутый ответ на вопрос, что такое *Linux*. Рассмотрена поэтапно история создания ОС *Linux*. Проанализированы сильные и слабые стороны современных ОС, а также выявлены основные преимущества и недостатки. Сделаны соответствующие выводы о перспективе развития *Linux*.

Во второй главе реферата рассмотрен процесс рождения Z' бозонов в протон-протонных столкновениях с учётом эффектов Z - Z' смешивания. Рассмотрены инструменты библиотеки *PYTHIA* для имитационного моделирования процессов взаимодействия элементарных частиц при высоких энергиях. Исследован процесс рождения Z' -бозонов в процессе $pp \rightarrow Z' \rightarrow l^+l^- + X$ с учетом эффектов Z - Z' смешивания.

БИБЛИОГРАФИЧЕСКИЙ СПИСОК

1. Назаров, С. В. Современные операционные системы: учебное пособие / С. В. Назаров, А. И. Широков. — Москва : Национальный Открытый Университет «ИНТУИТ», 2012.
2. Основные понятия ОС [Электронный ресурс]. — Режим доступа: <http://technomag.bmstu.ru/doc/48639.html> — Дата доступа: 11.12.2017.
3. Операционные системы Linux [Электронный ресурс]. — Режим доступа: <http://help.ubuntu.ru/wiki/linux> — Дата доступа: 11.12.2017.
4. Linux-2017: самые перспективные дистрибутивы [Электронный ресурс]. — Режим доступа: <https://habrahabr.ru/company/ruvds/blog/320002/> — Дата доступа: 11.12.2017.
5. За пределами Стандартной модели [Электронный ресурс]. — Режим доступа: <https://elementy.ru/LHC/HEP/SM/beyondSM> — Дата доступа: 11.12.2017.
6. Н. В. Красников, В. А. Матвеев. Поиск новой физики на LHC [Электронный ресурс]. — Режим доступа: http://nuclphys.sinp.msu.ru/ATLAS_exp/at03.htm — Дата доступа: 11.12.2017.
7. Official documentation [Электронный ресурс]. — Режим доступа: <http://home.thep.lu.se/torbjorn/Pythia.html> — Дата доступа: 11.12.2017.
8. Бобовников, И.Д. Эффекты $Z - Z'$ -смешивания в процессах рождения пары W^\pm -бозонов на адронных и лептонных коллайдерах высоких энергий / И.Д. Бобовников, А.А. Панков. — Письма в ЭЧАЯ, 2016. Т. 13, №1(199). С.8-35
9. Слабое взаимодействие [Электронный ресурс]. — Режим доступа: <http://nuclphys.sinp.msu.ru/enc/e149.htm> — Дата доступа: 11.12.2017.
10. Osland, P. Probing $Z - Z'$ mixing with ATLAS and CMS resonant diboson production data at the LHC at $\sqrt{s} = 13$ TeV / P. Osland,

- A.A. Pankov, A.V. Tsytrinov // Physical Review D. – 2012. – Vol. 86. – P. 12.
11. Andreev, V. V. Constraints on the $Z - Z'$ mixing angle from data measured for the process $e^+e^- \rightarrow W^+W^-$ at the LEP2 collider / V.V. Andreev, A.A. Pankov // Phys. At. Nucl. – 2012. – Vol. 75. – P. 76.
 12. ALEPH and DELPHI and L3 and OPAL and SLD Collaborations and LEP Electroweak Working Group and SLD Electroweak Group and SLD Heavy Flavour Group / Schael, S. [et al.] // Precision electroweak measurements on the Z resonance, Phys. Rep. 2006. – P. 427.
 13. Search for massive resonances decaying into WW , WZ or ZZ bosons in proton-proton collisions at $\sqrt{s} = 13$ TeV / Sirunyan, A. M. [et al.] // J. High Energy Phys. – 2017. – Vol. 162. – P. 56.
 14. Measurement of W^+W^- production in pp collisions at $\sqrt{s} = 7$ TeV with the ATLAS detector and limits on anomalous WWZ and WW_γ couplings / Ada, G. [et al.] // Phys. Rev. D. – 2013. – Vol. 88. – P. 29.
 15. Search for new phenomena in the $WW \rightarrow ll'v'$ final state in pp collisions at $\sqrt{s} = 7$ TeV with the ATLAS detector / Ada, G. [et al.] // Physics Letters B. – 2013. – Vol. 3. – P. 878.

ПРИЛОЖЕНИЕ А

ЫЫЫЫЫЫЫЫЫЫ